

بررسی عددی عملکرد یک هواپیمای آموزشی در شرایط اسپین توسعه یافته

مجتبی دهقان منشادی^۱، علی گلستانی^۲، محمد حسین زینلی^۳

۱ استاد، مهندسی هوافضاء، مجتمع دانشگاهی مکانیک، دانشگاه صنعتی مالک اشتر، شاهین شهر، ir.mdmanshadi@mut-es.ac.ir

۲ دکتری، مهندسی هوافضاء، شرکت هواپیما سازی ایران (هسا)، شاهین شهر

۳ کارشناسی ارشد، مهندسی هوافضاء، دانشگاه صنعتی مالک اشتر، شاهین شهر

تاریخ دریافت: ۱۳۹۸/۰۲/۰۵

تاریخ پذیرش: ۱۳۹۸/۱۲/۱۴

چکیده

طراحی هواپیما بر اساس ملاحظات مربوط به اسپین یکی از مهمترین بخش‌های طراحی می‌باشد. خروج از اسپین نیازمند مهارت خلبان و عملکرد خوب مجموعه دم در زوایای حمله بالا می‌باشد. یکی از تست‌های مهم در طراحی پرنده‌ها، بررسی فیزیک اسپین پرنده و توانایی در خروج از آن می‌باشد. در این پژوهش شرایط اسپین هواپیمای آموزشی PC-21 در فاز اسپین توسعه یافته مورد مطالعه عددی و تئوری قرار گرفته و یافته‌های مطالعاتی با نتایج تست پروازی مقایسه شده است. اسپین هواپیمای مذکور از نوع چپگرد بوده و بیشینه زاویه انحراف رادر ۲۵ درجه می‌باشد. تئوری مسئله نشان می‌دهد که اسپین این پرنده در زاویه ۳۰ درجه رخ می‌دهد. این در حالی است که داده‌های تست پروازی و آنالیزهای عددی این تحقیق محدوده رخداد اسپین را در زوایای ۴۰ تا ۶۵ درجه نشان می‌دهد. در واقع این تحقیق توانایی روش‌های عددی در جریان سیال را در تخمین پدیده اسپین به خوبی نشان می‌دهد.

واژگان کلیدی

اسپین، توسعه یافته، رادر، هواپیمای آموزشی، روش عددی

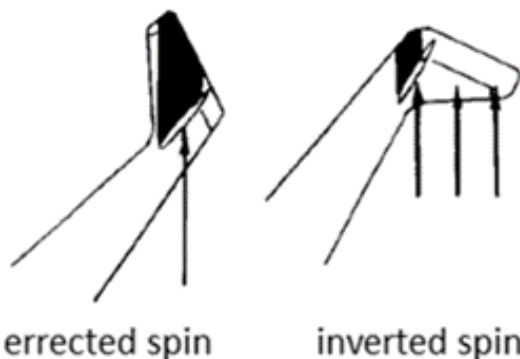
۱. مقدمه

می‌باید لذا بیشتر سوانح مرگبار ثبت شده از اسپین از نوع اسپین مستقیم بوده است. هرچند خروج از اسپین معکوس راحت‌تر است اما اهمیتش از آن رost است که برای خلبان گیج شدگی بیشتر (تشخیص سخت‌تر) به خاطر خلاف جهت بودن ممان‌های رول و یاو اعمالی بر هواپیما دارد (شکل ۱) [۲]. در اسپین مستقیم ممان‌های رول و یاو اعمالی بر پرنده هم جهت و در اسپین معکوس

ابتداًی ترین تعریف اسپین را سقوط پرنده همراه با حرکت چرخشی نامیده‌اند. این چرخش می‌تواند به صورت ساعتگرد و یا پاد ساعتگرد باشد [۱]. همچنین ورود به اسپین می‌تواند یکی از دو حالت مستقیم یا معکوس باشد. تشخیص اسپین مستقیم برای خلبان راحت‌تر است اما بازیابی آن مشکل‌تر می‌باشد زیرا کارابی دم عمودی به شدت تحت اثر گردابه‌های جداشده از دم افقی کاهش

در اسپین، نیروی درگ در برابر وزن و نیروی لیفت خنثی کننده نیروی گریز از مرکز است. در شکل ۴ دیاگرام آزاد یک هواپیما در شرایط اسپین نمایش داده شده است. اسپین دارای سه مرحله می‌باشد که عبارتند از ورود به اسپین، اسپین توسعه یافته و بازیابی از اسپین [۶]. برای ورود به اسپین کافیست هواپیما دچار واماندگی شده و در اثر ناپایداریهای سمتی و عرضی که در ناحیه غیرخطی (واماندگی) رخ می‌دهد، تعادل هواپیما از بین برود. بهم خوردن این تعادل می‌تواند با اعمال فرامین پروازی (رادر یا الیتور) از سوی خلبان نیز رخ دهد. در این حالت یکی از بالها با توجه به سرعت القایی ایجاد شده زاویه حمله ی بیشتر (بال پایین رونده) و دیگری زاویه حمله کمتری (بال بالارونده) می‌بیند. این مساله منجر به تفاوت برآی روی دو بال می‌شود که متعاقباً به خاطر تفاوت بودن زوایایی حمله (موثر) روی دو بال میزان پسای آنها نیز تفاوت خواهد شد. این عدم تقارن در نیروهای آبرودینامیکی موجب ایجاد همزمان ممان رول و یاو شده و هواپیما را در یک حرکت چرخان قرار می‌دهد [۱]. لذا هواپیما بعلت واماندگی وارد حرکت نزولی همراه با چرخش شده و نیروهای اینرسی بر نیروهای آبرودینامیکی غلبه می‌یابد. مهم ترین مرحله از اسپین این بخش است چرا که خلبان بایستی در این مرحله، ورود به اسپین و جهت چرخش را تشخیص داده و اقدامات لازم را برای خروج از آن انجام دهد. معادلات حاکم بر هواپیما در این فاز ناپایا است. بایستی توجه داشت که هواپیماهای مسافربری ذاتاً در مقابل ورود به اسپین دارای مقاومت بالایی هستند چرا که ورود به محدوده استال در آنها به ندرت اتفاق می‌افتد. جنگنده‌ها در مقایسه‌ی با هواپیماهای مسافربری مقاومت ورود به اسپین کمتری دارند اما هواپیماهای آموزشی به دلیل آنکه دانشجویان خلبانی باید با این پدیده و نحوه خروج از آن آشنا شوند کمترین مقاومت را در برابر ورود به این مانور دارند. برای وارد شدن به اسپین جهت آموزش طبق استانداردهای هوایی حداقل ارتفاع مجاز ۵۰۰۰ پا (۱۵۲۴ متر) می‌باشد زیرا در ارتفاع کمتر امکان برخورد با زمین وجود دارد [۷]. پس از ورود به اسپین نیروهای آبرودینامیکی و اینرسی به تعادل رسیده که منجر به پایا شدن فیزیک جریان اطراف هواپیما می‌گردد. این فاز را اسپین توسعه یافته می‌نامند. برای خروج از اسپین می‌بایست نیروها و ممان های آبرودینامیکی بر نیروها و ممان های اینرسیایی هواپیما غالب شود تا بتوان هواپیما را از اسپین خارج کرد. طبق آینه نامه خروج

خلاف جهت هم هستند [۱]. همچنین می‌توان اسپین را بر حسب زاویه حمله حین اسپین، به اسپین تخت (زاویه حمله بین ۶۵ تا ۹۰)، اسپین نیمه تخت (زاویه حمله بین ۴۵ تا ۶۵)، اسپین نیمه تیز (زاویه حمله بین ۳۰ تا ۴۵) و اسپین تیز (زاویه حمله بین ۲۰ تا ۳۰) طبقه بندی نمود (جدول ۱). [۲]

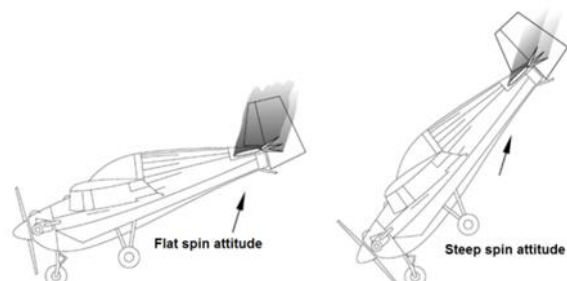


شکل ۱. اسپین مستقیم و معکوس [۲]

جدول ۱. انواع اسپین بر حسب زاویه حمله [۲]

نوع اسپین	زاویه حمله (درجه)
تخت	۹۰-۶۵
نیمه تخت	۶۵-۴۵
نیمه تیز	۴۵-۳۰
تیز	۳۰-۲۰

همانطور که از شکل ۲ پیداست بیرون کشیدن هواپیما از اسپین تخت مشکلتر است زیرا مساحت بیشتری از رادر تحت اثر دنباله‌های دم افقی قرار می‌گیرند.

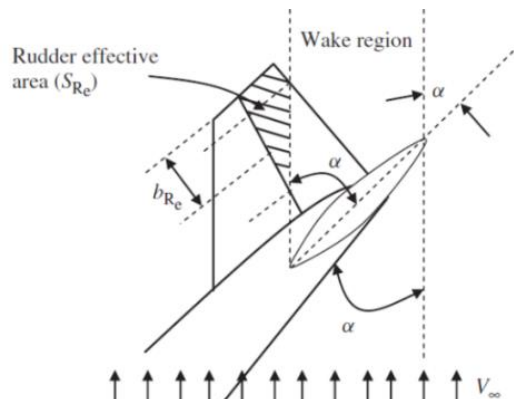


شکل ۲. گردا بهای تولیدی از دم افقی متناسب با زاویه اسپین [۳]

افزایش زاویه اسپین منجر به افزایش نرخ چرخش، برتری ممان یاو بر رول، پسای بیشتر و در مقابل، کاهش نرخ نزول، شعاع چرخش را به همراه دارد. تمام این موارد در مورد اسپین تیز بر عکس خواهد شد (شکل ۳) [۴].

راستای توزیع جرمی	عضو کلیدی هواپیما برای خروج از اسپین
بال	الویتور به سمت پایین و رادر خلاف اسپین
بدنه	ایلرون ها هم جهت با چرخش و رادر در خلاف جهت چرخش
بال و بدن متوارن	ابتدا رادر خلاف جهت چرخش و سپس الویتور
سمت پایین	

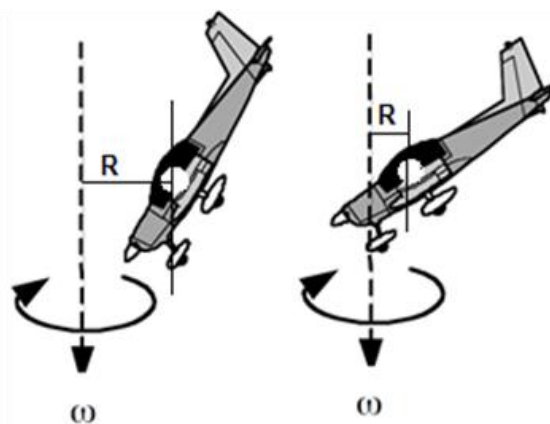
در مورد هواپیماهایی که در راستای بال و بدن، توزیع جرم متقارن دارند مذکور می گردد که تقدیم و تاخر استفاده از رادر و الویتور در خروج از اسپین بسیار مهم است [۱۰]. از طرفی همانطور که در این جدول دیده می شود برای خروج از اسپین در کلیه حالت ها نیاز به استفاده از رادر وجود دارد و بعضاً ممکن است در پاره ای موارد به الویتور یا ایلرون نیز نیاز باشد. از اینرو می توان از رادر به عنوان عضو کلیدی در خروج از اسپین یاد کرد [۴]. لذا محل قرارگیری آن نسبت به دم افقی بسیار حائز اهمیت است چرا که در زوایای حمله بالا گرداههای تولید شده از دم افقی تاثیر مستقیم بر عملکرد رادر خواهد داشت (شکل ۵).



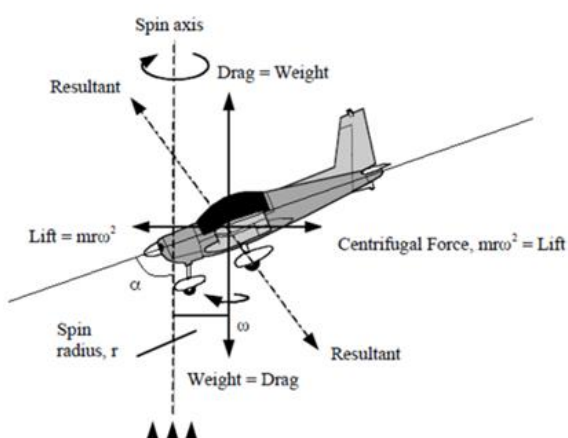
شکل ۵. ریزش گرداههای تولید شده از دم افقی بر روی رادر [۴]

وجود بخشی از رادر در زیر دم افقی (دم صلیبی) نقش مهمی در افزایش مساحت موثر رادر دارد. همچنین طراحی دم V شکل و T شکل منجر به مصنون ماندن رادر از اثرات دم افقی خواهد شد (شکل ۶). جهت افزایش کارایی دم عمودی نیز می توان صفحاتی در راستای دم عمودی در بالای بدن^۱ و پایین بدن^۲ اضافه نمود (شکل ۷). اضافه کردن تیغه به دم افقی^۳ (شکل ۸) نیز منجر به افزایش مجازی سطح دم افقی و کشیدن دماغه به سمت پایین (ناشی از تولید لیفت بیشتر روی دم افقی) حین خروج از اسپین می

از اسپین نباید بیش از یک دور تا یک و نیم دور بعد از اعمال اولین فرامین جهت خروج از اسپین به درازا بکشد. در این مدت کوتاه خلبان بایستی با قرار دادن موتور در حالت خلاص، چرخاندن کامل رادر در خلاف جهت چرخش و بردن دسته کنترل به سمت جلو همراه با خنثی کردن ایلرون ها (در مورد هواپیماهایی که توزیع جرمی در راستای بدن زیادتر از بال است چرخش ایلرونها هم جهت با رادر توصیه شده است)، شرایط خروج از اسپین و وارد کردن هواپیما به شیرجه را مهیا کند [۸]. در حوزه اسپین عوامل متعددی وجود دارد که بر روی معادلات حرکتی هواپیما موثرند. این عوامل می توانند توزیع جرم و پیکربندی دم و غیره باشند. هر کدام از موارد گفته شده تاثیر خود را یا بر روی ممان اینرسی های هواپیما یا بر روی آبرودینامیک جریان عوری از روی بدن هواپیما می گذارد [۱]. تاثیر توزیع جرم به طور مختصر در جدول ۲ توضیح داده شده است.



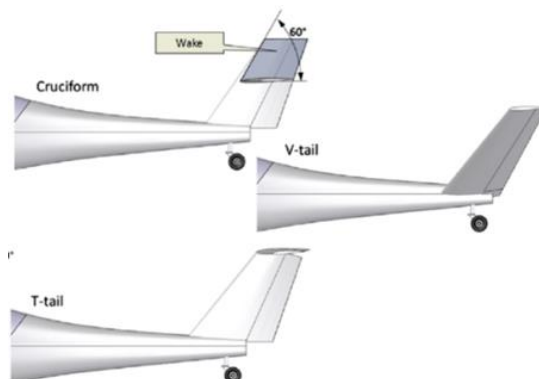
شکل ۳. رابطه بین زاویه اسپین و شعاع آن (اسپین تخت سمت راست - اسپین تیز سمت چپ) [۵]



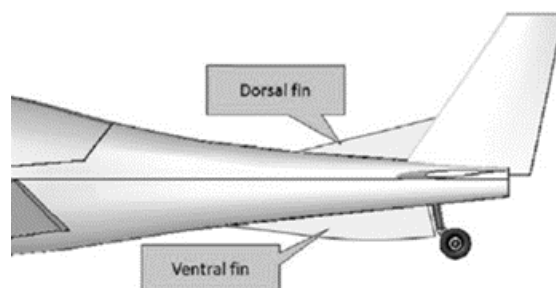
شکل ۴. دیاگرام نیروهای یک هواپیما در اسپین [۵]

همین دلیل اسپین را امری غیر قابل پیش بینی و خطرناک می‌نامیدند که پس از ورود به ناحیه واماندگی امکان رخداد آن وجود داشت و هیچ راه حلی برای مقابله با آن نبود. در سال ۱۹۱۷ فیزیکدان فردیک لیندمان مجموعه آزمایشاتی انجام داد که منجر به درک اسپین و ویژگی‌های آیروودینامیکی آن شد. باتسون و همکاران در سال ۱۹۲۹ جنگنده تک سرنشین را در شرایط اسپین مورد آزمایش قراردادند [۱۲]. بازیابی از اسپین در سال ۱۹۳۲ توسط برتیان و جونز بررسی شد [۱۳]. در همان سال ماهیت جریان اطراف دم هواپیما در اسپین توسط شودر و میلر مورد ارزیابی قرار گرفت [۱۴]. سال ۱۹۴۳ پرینگل به بررسی تفاوت‌ها میان اسپین مدل یک هواپیما و هواپیما در ابعاد واقعی پرداخت [۱۵]. با ورود کامپیوتر به عرصه مهندسی، از این امکان در تحلیل نتایج اسپین بهره گرفته شد. در سال ۱۹۶۸ ویلسون با استفاده از رایانه، رفتارشناسی و بازیابی از اسپین یک هواپیمای بال دلتای ۶۰ درجه را مورد تحلیل قرارداد [۱۶]. در سال ۱۹۷۹ اطلاعات دورانی هواپیمای تک موتوره آموزشی در زوایای حمله بین ۸ تا ۹۰ درجه توسط پنتاسون و دیکنتر بررسی شد [۱۷]. در همان سال اثر تغییرات در پیکربندی هواپیما بر روی اسپین و بازیابی از آن برای یک هواپیمای بال پایین تحقیقاتی توسط استو و همکاران مورد بررسی واقع شد [۱۸]. افزایش قدرت رایانه‌ها و انباست تجربیات ناشی از تست‌های تجربی منجر به تولید کدهایی با استفاده از روابط تحلیلی در کامپیوتر برای آنالیز پدیده اسپین شد. برای نمونه کاربرد تئوری دوگانه برای دینامیک F14 در زوایای حمله بالا توسط جانکه و کولکیت در سال ۱۹۹۴ بررسی شد [۱۹]. در اوخر دهه ۹۰ نرم افزارهای شبیه سازی دینامیک سیالات عددی وارد بازار شد و به شبیه سازی پدیده‌های غیرخطی در زوایای حمله بالا کمک شایانی نمود. بر همین اساس جیمز فورسیث و همکاران در سال ۲۰۰۶ اسپین جنگنده‌ی F15 را با ۶ درجه آزادی مورد تحلیل عددی قرار داد [۲۰]. دنیل آلن در سال ۲۰۰۷ بصورت عددی به بررسی اثر نصب تیغه بر روی بال هواپیمای T-38 در فازهای مختلف پروازی من جمله وضعیت اسپین پرداخت [۲۱]. آستین متیو مورچ در رساله دکتری خود در سال ۲۰۰۷ آیروودینامیک هواپیماهای بزرگ را در پسا واماندگی و اسپین با مدلسازی ریاضی بررسی کرد [۲۲] در سال ۲۰۰۸ مقایسه بین حل عددی معادلات نویر استوکس و نتایج تجربی از کارآمدی رادر هواپیمای LASTA-95 در اسپین تیز

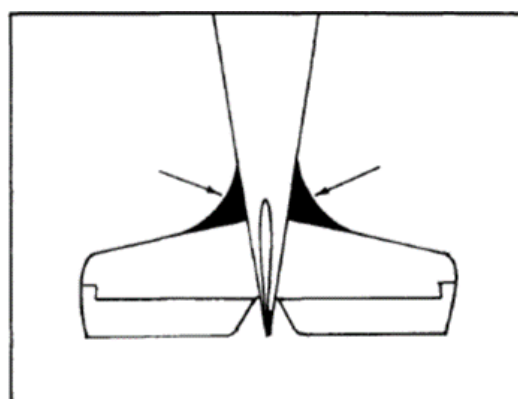
گردد که در نهایت منجر به کاهش نرخ و زاویه اسپین می‌شود در ضمن ممان مذکور، مقاومت در برابر ورود به اسپین پرنده را نیز افزایش می‌دهد [۹].



شکل ۶. بهبود عملکرد رادر در دم‌های صلیبی، T و V شکل [۱۱]



شکل ۷. اضافه کردن تیغه به بالا و پایین بدنه در راستای دم عمودی [۱۱]



شکل ۸. اضافه کردن تیغه به دم افقی جهت مقابله با اسپین [۲]

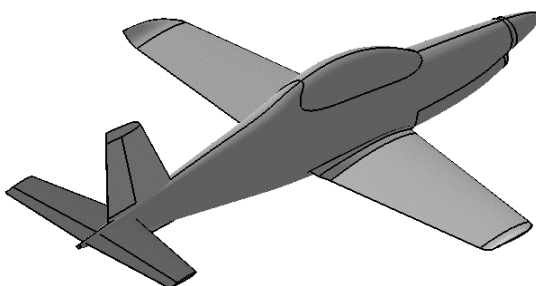
در ابتدا اسپین امری ناشناخته و خطرناک بود که ورود به آن منجر به سقوط و مرگ می‌شد. مشخص نبودن پروسه خروج از آن خلبانان را برآن می‌داشت تا طبق غریزه خود دسته کنترل را به عقب بکشند که این امر سبب وخیم تر شدن اوضاع می‌شد. به

- از طرف دیگر اسپین راستگرد با وزن کم و موقعیت مرکز جرم جلو همراه با رول در جهت اسپین پایداری کمتری داشته و تیزتر و همراه با نوسان است. زاویه حمله در آن بین ۳۵ تا ۴۵ درجه متغیر و بازیابی از آن سریع است.

در این پژوهش ابتدا هواپیمای PC-21 در حالت استاتیکی در زوایای حمله مختلف و در سرعت و اماندگی با زوایای رادر ۰ و ۱۲ و ۲۵ درجه در نرم افزار تجاری فلوقنت مورد تحلیل عددی واقع شده و سپس شرایط اسپین توسعه یافته بر روی این هواپیما اعمال می‌گردد و نتایج حاصل از حل عددی با نتایج تست پروازی [۱۰] مقایسه می‌شود. نوآوری‌های صورت گرفته در این پژوهش عبارت است از شبیه سازی یک مسئله در زوایای حمله بالا (از استال تا ۶۵ درجه) در فلوقنت علی رغم اینکه تصور غالب آن است که نرم افزارهای مذکور از شبیه سازی جریان در زوایای حمله بالاتر از استال عاجزند. از طرفی صحت جوابهای بدست آمده با نتایج تست پروازی تطابق داده شده است. همچنین ثابت می‌گردد که روش‌های تئوری (معادلات تحلیلی) در پدیده اسپین قابل اتكا نبوده و جواب روش عددی به نتایج تست پروازی نزدیک‌تر است.

۲. مدل‌سازی و تولید شبکه

مدل‌سازی هواپیمای PC-21، در نرم افزار کتیا انجام شد (شکل ۹).



شکل ۹. مدل طراحی شده هواپیما در نرم افزار کتیا

جهت مطالعه و بررسی توانایی خروج این هواپیما از اسپین، مدل‌سازی هواپیما در سه وضعیت زاویه رادر صفر، ۱۲ درجه و ۲۵ درجه صورت گرفت. دهانه بال این هواپیما ۹/۱ متر و مساحت بال آن ۱۵/۲ متر مربع و جرم آن نیز ۳۱۰۰ کیلوگرم می‌باشد. سرعت و اماندگی این پرنده در حالت فلپ بسته ۴۷ متر برثانیه بوده که

توسط میرکو کوزیک صورت گرفت [۲۳]. در سال ۲۰۱۳ آدام راب و همکاران، استال و اسپین یک هواپیمای فوق سبک را توسط داده‌های پروازی مورد بررسی قرار دادند [۲۴]. از آنجایی که در داخل کشور متسافنه شرایط تست تونل باد جهت اسپین مهیا نیست تنها راه موجود تست پروازی مدل رادیو کنترلی پرنده می‌باشد. بروز هر حادثه ای حین تست‌ها می‌تواند مدل و تجهیزات را از بین ببرد. از طرفی اعتماد صرف به روابط تئوری نیز کار عاقلانه‌ای نیست. از اینرو در این پژوهش تلاش می‌شود تا صحت شبیه سازی عددی حین اسپین ارزیابی شده و فاصله موجود بین روابط تئوری و تست پروازی به نوعی پر شود. در این راستا لازم است تا یک هواپیمایی که تست‌های پروازی آن انجام شده است در نرم افزار مدلسازی شده و سپس بافته‌های بدست آمده جهت صحت سنجی با نتایج پروازی مقایسه گردد. بدین منظور تست‌های پروازی هواپیمایی PC-21 به عنوان یکی از موفق ترین هواپیماهای اکروباتیک جهان در نظر گرفته شد [۱۰]. در سال ۱۹۹۸ در تونل باد BAR تست‌هایی بر روی PC-9M و مدل بهینه شده این هواپیما (POC) با نسبت ۱۲/۰ که به عنوان مدل پایه برای طراحی مفهومی PC-21 ارائه شده بود انجام گرفت. این تست‌ها مبنای برای طراحی هواپیمای PC-21 شد. در نهایت اولین تست هواپیمای PC-21 در تونل باد LAMP در سال ۱۹۹۹ صورت گرفت. پس از انجام تست‌های تونل باد و انجام تست‌های پروازی نتایج زیر برای این هواپیما حاصل شد:

- اسپین این هواپیما در محدوده زوایای بین ۴۰ تا ۶۵ رخ می‌دهد.

- نرخ چرخش اسپین ۲ تا ۲/۵ رادیان بر ثانیه است.
- اسپین چیگرد پایدارتر و تخت تر از اسپین راستگرد می‌باشد.
- اسپین با وزن بالا در موقعیت مرکز جرم عقب، سریعتر توسعه یافته شده و تخت تر می‌گردد و برای بازیابی به تعداد دور بیشتری نیاز دارد.

- اعمال رول در جهت اسپین باعث تیزتر و نوسانی شدن اسپین می‌گردد.

- اعمال رول در خلاف جهت اسپین همراه با وزن بالای هواپیما با موقعیت مرکز جرم عقب باعث اسپین پایدار، بدون نوسان و نسبتاً تخت تا زاویه حمله ۶۵ درجه می‌شود. در این حالت نرخ چرخش بالاست و بازیابی دیرتر رخ می‌دهد.

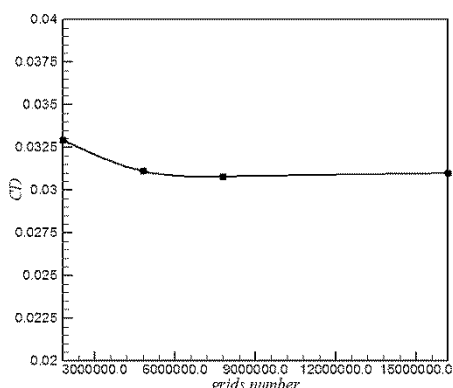
انتخاب شد(جدول ۳)، نمودار بررسی استقلال از شبکه در شکل ۱۱ ارائه شده است.

۳. ارائه نتایج

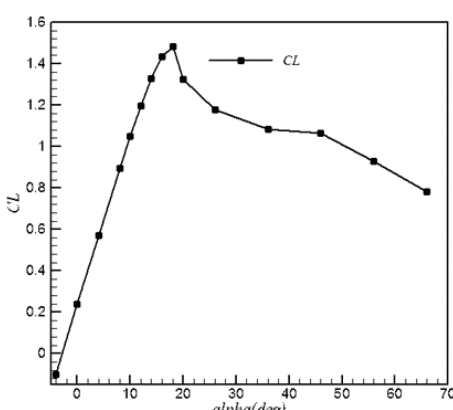
مدل استاتیکی این هوایپیما در نرم افزار تحلیل عددی فلوئنت تا زوایای پس از واماندگی مورد بررسی قرار گرفته و نمودار ضرایب آبرودینامیکی این هوایپیما استخراج گردید. میزان ضریب برآی ماکریزم این هوایپیما $1/47$ و در زاویه 18° درجه می‌باشد (شکل ۱۲). همچنین ضریب پسای برآ صفر ($C_{D_{CL_0}}$) این هوایپیما معادل $0/024$ است (شکل ۱۳).

جدول ۳. بررسی استقلال از شبکه

تعداد المان	CD	%ΔCD
۹۰۰۰۰۰	Divergence	--
۱۸۰۰۰۰۰	$0/0329$	--
۴۸۰۰۰۰۰	$0/0311$	$5/57$
۷۸۰۰۰۰۰	$0/03079$	$1/01$
۱۶۲۰۰۰۰۰	$0/03059$	$-0/65$



شکل ۱۱. بررسی استقلال از شبکه



شکل ۱۲. نمودار ضریب برآ بر حسب زاویه حمله هوایپیما PC-21 در سرعت واماندگی 47° متر بر ثانیه

همین سرعت در تحلیل‌ها به عنوان شرط مرزی ورودی اعمال می‌گردد. تولید شبکه با تعداد المان پایه برابر با 900000 المان انجام شد(شکل ۱۰).

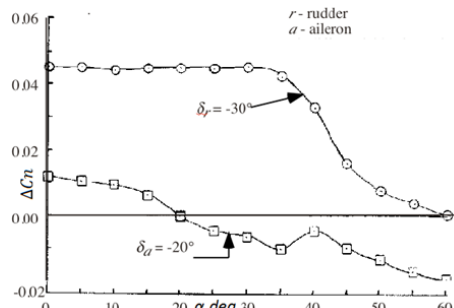


شکل ۱۰. شبکه تولید شده بر روی هوایپیما

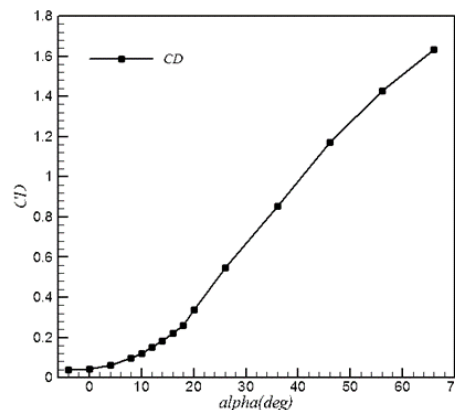
با توجه به توصیف ارائه شده در راهنمای نرم افزار فلوئنت مبنی بر توسعه مدل اسپالارت آلمارس^۴ جهت شبیه سازی های هوافضایی، حل عددی بر روی این میدان با استفاده از این مدل اغتشاشی صورت گرفت. معادله انتقال برای این مدل اغتشاشی به صورت معادله ۱ بوده که در آن G_v اغتشاش تولیدی، Y_v اتلاف ناشی از اغتشاشات در نزدیکی دیواره، S_v و C_{b2} ثابت های معادله، v لزجت دینامیکی و S_v ترم اصلاحی می‌باشد.

$$\frac{\partial}{\partial t} (\rho \bar{v}) + \frac{\partial}{\partial x_i} (\rho \bar{v} u_i) = G_v + \frac{1}{\sigma_v} \left[\frac{\partial}{\partial x_j} \left\{ (\mu + \rho \bar{v}) \frac{\partial \bar{v}}{\partial x_j} \right\} + C_{b2} \rho \left(\frac{\partial \bar{v}}{\partial x_j} \right)^2 \right] - Y_v + S_v \quad (1)$$

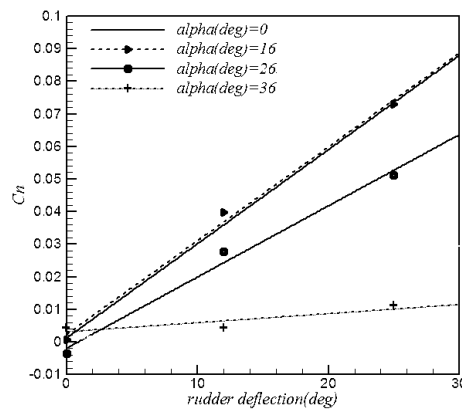
حلگر این مسئله از نوع چگالی مبنا بوده و از آنجایی که تحلیلها مربوط به شبیه سازی فاز اسپین توسعه یافته می‌باشد حل به صورت پایا انجام می‌پذیرد. سیال مسئله گاز ایده آل در نظر گرفته شده و شرایط پروازی مطابق دستورالعمل های استاندارد هوایی اسپین در ارتفاع ۵۰۰۰ پا (۱۵۲۴ متر) از سطح دریا لحاظ گردیده است [۷]. در این ارتفاع فشار ۸۰۰۰ پاسکال به عنوان فشار عملکردی و دمای ۲۷۸ کلوین با عنوان شرط مرزی سرعت ورودی به نرم افزار داده شد. گستته سازیها از نوع مرتبه ۲ بالا دست انتخاب شد تا دقت حل بالا رود. از آنجایی که در این مسئله تعداد مشاهد زیاد بوده و مقدار حافظه زیادی را می‌طلبید بنابراین از روش صریح در نحوه گستته سازی معادلات استفاده شده تا حافظه بیشتری برای تعداد المانها آزاد گردد. مسئله در هر دو حالت استاتیکی و اسپین پس از حدود ۳۰۰۰ تکرار همگرا گردید. برای بررسی استقلال از شبکه، پارامتر ضریب درگ مورد حساسیت سنجی واقع شد و در هر مرتبه تعداد المان ها دو برابر گردید تا در نهایت تعداد المان 480000 برای بررسی اسپین



شکل ۱۵. نمودار ضریب ممان یاو بر حسب زاویه حمله برای هواپیمای [۲۵] F16

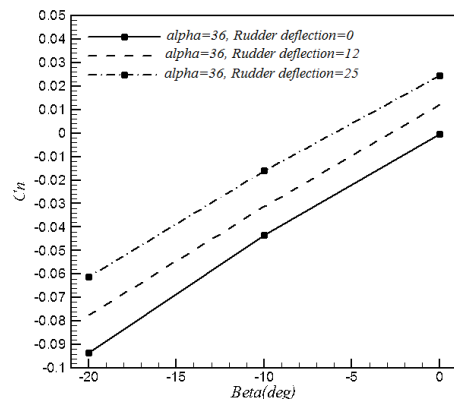


شکل ۱۳. نمودار ضریب پسا بر حسب زاویه حمله برای هواپیمای PC-21



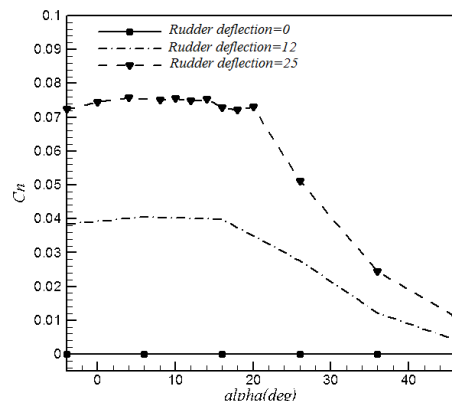
شکل ۱۶. نمودار $C_n - \delta_r$ در زاویه حمله مختلف در سرعت واماندگی 47 m/s و زاویه رادر α درجه

از آنجاییکه اسپین در زاویای مختلف β می تواند اتفاق بیفتد، لازم است تا حساسیت C_n نسبت به زاویای متفاوت β نیز سنجیده شود. به عنوان نمونه نمودار $C_n - \beta$ در زاویه حمله ۳۶ درجه به ازای دفلکشن های مختلف رادر در شکل ۱۷ نشان داده شده است.



شکل ۱۷. نمودار $C_n - \beta$ بر حسب زاویه حمله PC-21 به ازای دفلکشن های متفاوت رادر در سرعت واماندگی 47 m/s

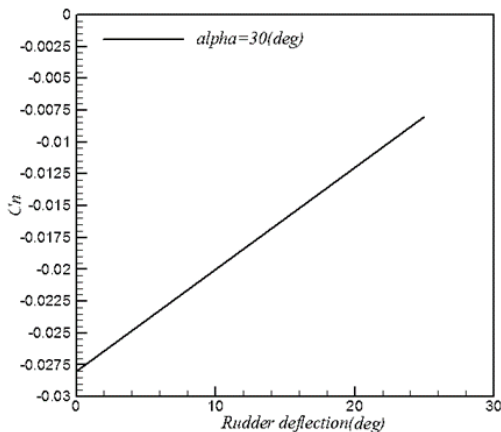
با توجه به اینکه مهمترین ضریب برای خروج از اسپین ضریب C_n است از اینرو لازم است تا حساسیت این ضریب نسبت به زاویه حمله و زاویه جانبی مورد بررسی قرار گیرد. بر این اساس، حساسیت سنجی C_n نسبت به زاویه حمله به صورت شکل ۱۴ است. همانگونه که مشاهده می شود تغییرات مقدار C_n با زاویه حمله تا قبل از واماندگی تقریبا ناچیز بوده اما پس از واماندگی این ضریب دچار افت شدیدی می شود که این مساله با جدایش جریان از روی بال و ریزش گردابه ها بر دم و کاهش اثر رادر قابل توجیه است. از مقایسه روند تغییرات نمودار $C_n - \alpha$ این هواپیما با هواپیمای F16 که در مرجع [۲۵] ذکر شده (شکل ۱۵) نیز می توان به صحت نتایج پی برد.



شکل ۱۴. نمودار ضریب ممان یاو هواپیمای PC-21 بر حسب زاویه حمله در سرعت واماندگی 47 m/s بر ثانیه

بر این اساس میزان C_n بر حسب زاویای مختلف رادر به ازای زاویای حمله متفاوت نیز قابل رسم خواهد بود(شکل ۱۶). نکته جالب این است که مجددا $C_{n\delta_r}$ تا قبل از واماندگی ثابت مانده است.

سمت راست داده شود. متناسب با اسپین چپگرد در زاویه رادر صفر، طبیعی است که میزان C_n هواپیما منفی باشد. بنابراین انتظار می‌رود بیشینه زاویه مجاز، بتواند ممان یا و ناشی از اسپین را خنثی کرده و میزان C_n به صفر برسد. نتایج تحلیل عددی نشان دهنده آن بود که در این زاویه مقدار C_n در $\delta_r = 25$ صفر نگردید (شکل ۱۹). با توجه به تست پروازی این هواپیما [۱۴] که از وقوع اسپین در زوایای بین 40 تا 65 درجه خبر می‌داد مدل اسپین با زاویه اسپین 45 درجه ایجاد شد. حل عددی پیرامون این مدل نشان دهنده کاهش میزان C_n در $\delta_r = 25$ نسبت به زاویه اسپین 30 درجه بود ولی مقدار آن همچنان به صفر نرسید (شکل ۲۰).



شکل ۱۹. δ_r برای هواپیما PC-21 در زاویه اسپین 30 درجه در سرعت واماندگی 47 m/s در اسپین با شاعع چرخش نصف دهانه بال

با توجه به اینکه همچنان C_n هواپیما در زاویه 45 درجه صفر نشد و بنا به مستندات ارائه شده در تست پروازی این هواپیما [۱۰]، از آنجایی که اسپین چپگرد آن تخت تر است به نظر رسید تا زاویه بیشتری جهت اسپین مدلسازی شود. بر اساس معادلات پایداری هواپیما در شرایط اسپین توسعه یافته با براینمودن وزن هواپیما با نیروی پسا می‌توان ضریب پسا و زاویه متناظر با آن را استخراج نمود (معادله ۳).

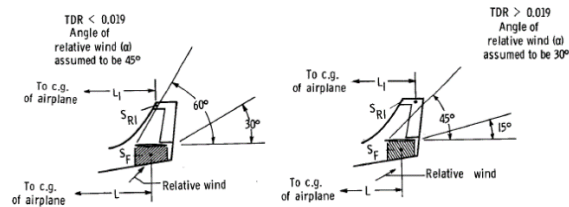
$$D = W \Rightarrow C_D = \frac{2W}{\rho V^2 S} \quad (3)$$

D نیروی پسا، W وزن، ρ چگالی، V سرعت و C_D ضریب پسای هواپیماست. از آنجایی که پیدا کردن زاویه بدست آمده متناظر با ضریب پسا در حالت اسپین مستلزم سعی و خطای فراوان است برای بدست آوردن زاویه مذکور می‌توان از نمودارهای تحلیل استاتیکی (شکل های ۱۲ و ۱۳) به عنوان

آنگونه که مشاهده می‌شود رفتار $\beta - C_n$ به ازاء زوایای مختلف رادر تقریباً خطی است و این خطوط با هم موازیند. بنابراین آنچنان تفاوتی ندارد که C_n در چه زاویه‌ای از β استخراج گردد. تعیین مساحت موثر رادر ($S_{eff\ rudder}$) حین اسپین با توجه به نسبت استهلاک دمی^۵ (معادله ۲) صورت می‌گیرد. با توجه به این عدد زوایایی نسبت به افق در لبه حمله و فرار دم افقی رسم شده و ناحیه‌ای از رادر که خارج از این محدوده قرار می‌گیرد به عنوان مساحت موثر رادر حین اسپین محاسبه می‌گردد.

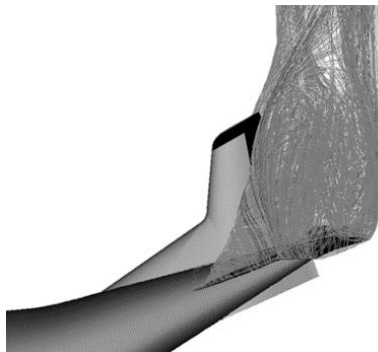
$$TDR = \frac{S_F L^2}{S(\frac{b}{2})^2} \quad (2)$$

در معادله بالا، مساحت سطح بدنه زیر دم افقی (S_F) و فاصله ای مرکز آن تا مرکز جرم هواپیما (L) و همچنین مساحت بال (S) و دهانه بال (b) می‌باشد. بر این اساس نسبت استهلاک دمی برای هواپیمای PC-21 0.026 محاسبه گردید. بر اساس این عدد و با توجه به الگوی ارائه شده توسط مرجع [۹] زاویه اسپین هواپیما مشخص می‌گردد (شکل ۱۸).



شکل ۱۸. زوایای حدی برای مشخص شدن ناحیه غیر موثر رادر

محاسبات تئوری طبق شکل ۱۸ نشان می‌دهد اسپین هواپیمای PC-21 می‌بایستی در حدود زاویه 30 درجه رخ دهد. نتایج تست پروازی که در مرجع [۱۰] برای این هواپیما ارائه شد نشان دهنده رخداد اسپین در زوایای بین 40 تا 65 بود. برای برطرف شدن شیوه، ابتدا هواپیما در اسپین 30 درجه مدلسازی شد. برای مدلسازی شرایط اسپین، از آنجایی که در اطلاعات تست پروازی هواپیمای مذکور [۱۰] صحبتی از مقدار شاعع چرخش حین اسپین به میان نیامده با پیشنهاد مرجع [۴] شاعع نصف دهانه بال برای چرخش حین اسپین انتخاب شد. بیشینه زاویه رادر در این هواپیما 30 درجه می‌باشد با رعایت حاشیه اطمینان 5 درجه، زاویه 25 درجه به رادر در مدلسازی ها داده شد. شایان ذکر است که اسپین مدلسازی شده چپگرد است لذا طبق قوانین اسپین، تغییر زاویه رادر بایستی برخلاف جهت اسپین به

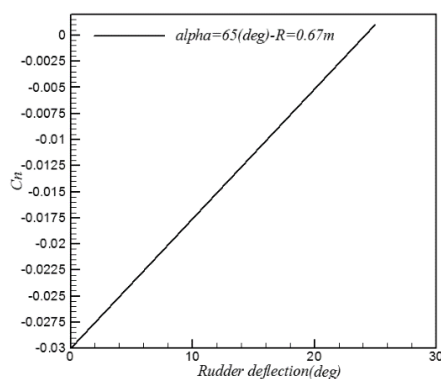


شکل ۲۲. گردابه‌های تولیدی از دم افقی هواپیما PC-21 در شرایط اسپین با زاویه اسپین ۶۵ درجه در سرعت واماندگی ۴۷m/s با شاعع چرخش نصف دهانه بال

با بررسی مبانی مربوط به اسپین مشخص است که با تخت شدن اسپین شاعع اسپین کاهش می‌یابد (شکل ۳). شاعع اسپین را می‌توان از معادله ۴ استخراج نمود:

$$L = mr\omega^2 \Rightarrow r = \frac{L}{m\omega^2} = \frac{\frac{1}{2}\rho v^2 S C_L}{m\omega^2} \quad (4)$$

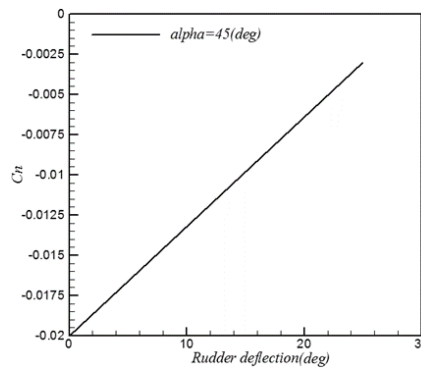
L نیروی برآ، r شاعع چرخش، ω سرعت زاویه‌ای و m جرم هواپیما می‌باشد. با توجه به شکل ۱، مشاهده می‌شود که ضریب برآی متناظر با زاویه ۶۵ درجه، 0.08 است، لذا شاعع چرخش طبق معادله ۳، $0.67m$ محاسبه می‌گردد. بنابراین مدل اسپین با شاعع کمتر ایجاد شد. در این حالت مشاهده شد که در اسپین $\delta_r = 25$ درجه، مقدار C_n مثبت شد (شکل ۲۳) که این نتیجه برای خروج از فاز توسعه یافته مطلوب است. همانطور که در شکل ۲۴ دیده می‌شود در شرایطی که شاعع چرخش در تحلیل‌های عددی اصلاح شود، خطوط جریان انتشار یافته از دم افقی بخشی از رادر را تحت تاثیر قرار داده اما قسمت اعظم آن همچنان کارایی خود را حفظ می‌کند.



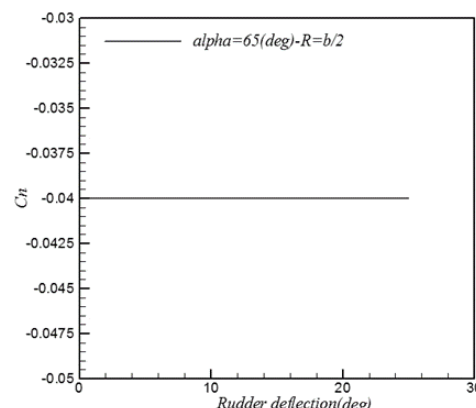
شکل ۲۳. $C_n - \delta_r$ برای هواپیما PC-21 در زاویه اسپین ۶۵ درجه با شاعع چرخش 0.67 متر در سرعت واماندگی $47m/s$

تخمین اولیه استفاده نمود. این زاویه اگرچه بر اساس شرایط استاتیکی بدست می‌آید اما به نظر می‌رسد تخمین اولیه خوبی برای تعیین زاویه اسپین باشد. بر این اساس ضریب پسا هواپیما حین اسپین $1/8$ بوده و زاویه حمله متناظر با آن 70 درجه می‌باشد. از آنجایی که محدوده اسپین بدست آمده در تست پروازی برای این هواپیما بین 40 تا 65 بوده است [۱۰]، زاویه بدست آمده از روش فوق حداقل برای این پرنده تخمین خوبی ارائه می‌دهد.

ابتدا طبق روال سابق مدل اسپین در زاویه 65 درجه با شاعع برابر با نصف دهانه بال تحلیل شد. مشخص گردید که تغییر زاویه رادر در این حالت تفاوتی در مقدار ممان یاو ایجاد نمی‌کند (شکل ۲۱). این نتیجه در ابتدا بسیار عجیب بود. اما با توجه به خطوط جریان انتشار یافته از دم افقی که نشان دهنده گستردگی گردابه‌های تولیدی در زاویه اسپین 65 درجه روی تمام سطح رادر بود به نظر قابل توجیه می‌آید. در حقیقت در این زاویه و این شرایط، رادر از دست رفته محاسبه می‌شود (شکل ۲۲).



شکل ۲۰. $C_n - \delta_r$ برای هواپیما PC-21 در زاویه اسپین 45 درجه در سرعت واماندگی $47m/s$ با شاعع چرخش نصف دهانه بال



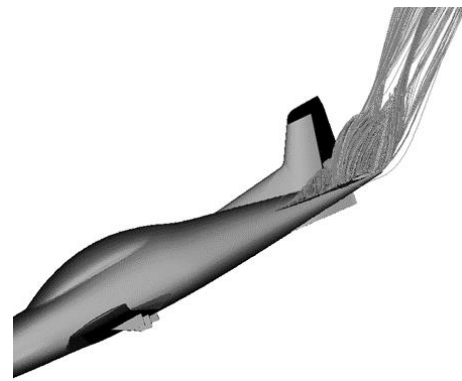
شکل ۲۱. $C_n - \delta_r$ برای هواپیما PC-21 در زاویه اسپین 65 درجه با شاعع چرخش نصف دهانه بال در سرعت واماندگی $47m/s$

محدوده زاویه ۳۰ درجه بایستی رخ دهد اما نتایج تست پروازی بیانگر رخداد اسپین در زوایای بین ۴۰ تا ۶۵ درجه بود.

این پرنده به دلیل وزن بالا نسبت به پرنده های هم رده خود، با توجه به برابری نیروی وزن با پسا حین اسپین، طبیعی است که بایستی بصورت تخت تر و در زاویه بالاتری (جهت ایجاد پسای بیشتر در راستای برابری با وزن) وارد اسپین می گردد.

داده های پروازی اذعان می دارد که اسپین چپ گرد این پرنده در زوایای نزدیک به ۶۵ درجه و اسپین راستگرد آن در زوایای نزدیک به ۴۰ درجه اتفاق می افتد. تحلیل های عددی صورت گرفته در این پژوهش این موضوع را تایید می کنند.

می توان یکی از دلایل ضعف روش های تئوری برای پیش بینی شرایط اسپین را، لحاظ نشدن شعاع دوران حین اسپین و اثرات آن بر ضرایب پایداری دانست. برخلاف تصویر اولیه که داده های نرم افزار فلوئنت در زوایای حمله بالا قابل اعتماد نیست، مقایسه نتایج حاصل شده از این روش با نتایج تست پروازی بیانگر دقیقی خوب در این روش می باشد. همچنین در مقایسه نتایج حل عددی به کمک فلوئنت با نتایج روابط تحلیلی مشخص گردید داده های شبیه سازی عددی برای مسئله اسپین به واقعیت نزدیک تر است.



شکل ۲۴. گردابه های تولیدی از دم افقی هواپیمای PC-21 در شرایط اسپین با زاویه اسپین ۶۵ درجه با شعاع چرخش ۰.۶۷ متر در سرعت واماندگی ۴۷ متر بر ثانیه

۴. نتیجه گیری

با توجه به مطالعات عددی صورت گرفته پیرامون هواپیمای PC-21 در شرایط اسپین توسعه یافته که منجر به کاهش زمان و هزینه مورنیاز برای طراحی هواپیما می گردد و مقایسه نتایج آن با نتایج تحلیل های تئوری و تست پروازی این هواپیما، مشخص گردید:

در مسئله اسپین نمی توان به محاسبات تئوری صرف اعتماد کرد زیرا این محاسبات بیان می داشت که اسپین این هواپیما در

۵. مأخذ

- [1] F. G. Delacerda, Facts about spins, Second Edition, Iowa State University Press, 2002.
- [2] W. K. Kershner, The flight instructor's manual, 4th Edition, Iowa State Press: Blackwell Publishing Company, 2002.
- [3] Accident Report, Accessed on 24 December 2017; <https://www.gov.uk/aaib-reports/tipsy-nipper-t-66-eries-3-nipper-g-oncs-13-august-2007>.
- [4] M. H. Sadraey, Aircraft design- a systems engineering approach, First Edition, New Hampshire: John Wiley & Sons, 2013.
- [5] Spins, Accessed on 24 December 2017; <http://www.flighthab.net>.
- [6] D. J. Kenny, Stall and spin accidents, AOPA Air Safety Institute, 2017.
- [7] R. D. Kimberlin, Flight Testing of Fixed-Wing Aircraft, Blacksburg, Virginia: AIAA, 2003.
- [8] Spin Avoidance and Recovery, Accessed on 24 December 2017; <http://www.caa.govt.nz>.
- [9] Bowman Jr, James S, Summary of spin technology as related to light general-aviation airplanes, NASA, Washington, United States, 1971.
- [10] L. Manfriani, Design for spin, ICAS, vol. 3, p. 2, 2006.
- [11] S. Gudmandsson, General aviation aircraft design applied methods and procedures, Butterworth-Heinemann, 2014.
- [12] A.S Batson ,M.B. Irving ; S.B.Gates, Spinning Experiments on a Single Seater Fighter, R&M, 1929.
- [13] M.W.Bryant,L.W. Jones, Recovery From a Spin, R&M, 1932.
- [14] N.F.Seudder, M.P.Miller, The Nature of Air Flow About the Tail of an Airplane in a Spin, R&M, 1932.
- [15] B.E.Pringle, The Difference Between the Spinning of Model and Full-Scale Aircraft, R&M, 1943.
- [16] R.Wilson, Analytical Investigation of Spinning Behaviour and Recovery From the Developed Spin of a 60 Deg Delta Wing Aircraft Configuration Using a High Speed Digital Computer, WRE Technical Note, 1968.
- [17] P. Pantason, W. Dickens, Rotary Balance Data for a Single Engine Trainer Design for an Angle-of-Attack Range of 8° to 90°, NASA, Scientific and Technical Information Branch, 1979.

- [18] H.P. Stough ,Jr.JM.Patton, The effects of configuration changes on spin and recovery characteristics of a low wing general aviation,in AIAA Aircraft Systems and technology Meeting 20-22 August, New York, NY, 1979.
- [19] C.Jahnke ,F.Culickt, Application of Bifurcation Theory to the High-Angle-of-Attack Dynamics of the F -14, journal of Aircraft, vol. 31, no. 1, pp. 26-33, february 1994.
- [20] James.R.Forsythe, William.Z.Strang, Kyle.D. Squires, 6 Degree of freedom computation of F15 entering a spin, AIAA Paper, vol. 858, 2006.
- [21] D. A. Solfelt, CFD Analysis of a T-38 Wing Fence, Ohio, 2007.
- [22] A.M.Murch, Modeling of post-stall and spin dynamics of large transport airplanes aeodynamic, Georgia Institute of Technology, 2007.
- [23] M.Kozić, Navier-Stokes computations and experimental comparisons for rudder efficiency analysis in the moderately steep spin part II: Computation Method, Scientific Technical Review, vol. 58, no. 1, pp. 61-65, 2008.
- [24] M. S.Selig, A. M. Ragheb, D. Dantsker, Stall/Spin Flight Testing with a Subscale Aerobatic Aircraft, in 31st AIAA Applied Aerodynamics Conference, San Diego, CA, 2013.
- [25] W. H. Mason, High Angle of Attack Aerodynamics, in Configuration Aerodynamic, 2006.

پی نوشت

-
1. Dorsal fin
 2. Ventral fin
 3. Strake
 4. Spalart Allmaras
 5. TDR(Tail Damping Ratio)
 - 4 . Spalart Allmaras
 - 5 . TDR(Tail Damping Ratio)